

II-274 斜め桟粗度による湾曲部の局所洗掘防止工法に関する研究

早稲田大学大学院 学生員 井田泰蔵 早稲田大学 正会員 関根正人
 早稲田大学大学院 学生員 田村浩敏 日建設計 斎藤貴裕

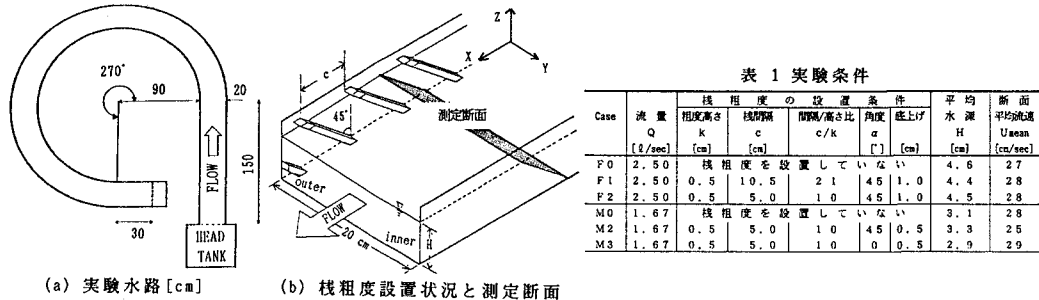
1.はじめに 河道の湾曲部においては、遠心力に起因する二次流により外岸侵食が生じ、これが河川管理上重要な問題となっている。著者らは直線水路において、桟粗度上部を流れ方向に傾けることにより二次流を人工的に生成させた流れの特性について明らかにし、これを湾曲部外岸に設置し、外岸の侵食防止に役立てるための基礎的な研究を進めてきた^{1), 2), 3)}。本研究では、一様湾曲水路を用い、その外岸に実際に斜め桟粗度を設置し、前報までに明らかになった知見の検討を行うとともに、移動床での実験を行い、斜め桟粗度の設置が局所洗掘防止のためにいかに効果があるかを確かめる。

2.実験概要 実験には図1(a)に示すような中心曲率半径100cm、水路幅20cm、湾曲角270°を持つ長方形断面の一様湾曲水路を行った。桟粗度は、図1(b)のように上部を流下方向に45°傾けて湾曲部の40cm上流側の直線部から湾曲部全面にわたって外岸側壁に設置した。ただし、桟前後の洗掘を避けるために、設置する桟の下端を、固定床実験では1cm、移動床実験では0.5cmだけ水路床より浮かせてある。固定床実験(Series F)では、図1(b)に示すように桟と桟の中央の断面を測定断面として、熱膜流速計による流速測定を行った。また、移動床実験(Series M)では、粒径が2mmの均一粒径の樹脂製ビーズ(比重1.41)を水路床に5.5cmの厚さだけ敷き詰め、給砂を行いつつ、河床形状が平衡状態に達したと判断される時間まで通水し、止水後ポイントゲージを用いて河床形状を測定した。なお、比較のために桟粗度を直角に設置、あるいは設置せずに実験を行った。実験条件は表1に示されている。

3.実験結果とその考察

3.1 固定床実験 まず、図2に得られた二次流ベクトル図を示す。桟粗度を設置していない場合(図2(a), Case F0)では、遠心力の作用により、反時計方向の二次流が生じている。これに対して、斜め桟粗度を間隔が桟の高さの21倍となるように設置する(図2(b), Case F1)と、斜め桟粗度により外岸付近に遠心力による二次流と逆向きの二次流が形成され、遠心力による二次流と一对のセルを形成するようになる。さらに、桟粗度の間隔を10倍にし、桟の密度を高めると(図2(c), Case F2)、桟粗度による二次流が強まり、遠心力による二次流セルの占める領域が小さくなる。図3は主流速分布図である。桟を設置していない場合は、最大主流速の生じる位置が、遠心力により運動量が輸送され水路中央より外岸寄りに生じるが、桟を設置すると(Case F1)、水路中央付近に最大主流速が現れ、その値は増大している。また、桟をより密に設置すると、最大主流速が生じる位置がさらに内岸へ寄っているのがわかる。また、図4にはレイノルズ応力分布を示したが、水路中央付近において $-\bar{u}'\bar{v}'$ 、 $-\bar{u}'\bar{w}'$ の値が大きくなっているものの、桟の下端付近では顕著な値の変化はなく、桟を設置したことによる洗掘は、桟の下端を水路床より浮かせて設置すれば防げことがわかる。最後に、Case F0とCase F1の場合において、流れ関数 ψ を底面で $\psi = 0$ として求め、図5に示した。この図から $\psi = -4 [cm^2/s]$ で囲まれた領域について循環を求めるとき、Case F1に比べCase F0の循環は3.4倍であり、桟を設置することで、二次流による循環も小さくなっていることがわかった。

3.2 移動床実験 移動床実験により得られた河床の横断形状を図6に示す。桟を設置していないCase M0では外岸付近に最深部が生じるのに対し、桟を斜めに設置したCase M2では、最も洗掘される位置が水路中央付近に移動し、外岸付近での洗掘が抑制されていることがわかる。このように斜め桟粗度を湾曲部外岸の設置することにより生じる二次流を利用すれば、湾曲部の二次流が制御でき、結果として、深掘れが生じる位置を河川管理上好ましい位置に移動させることができると考える。なお、桟を鉛直に設置したCase M3では、外岸付近の洗掘はほとんど抑制できず、効果がないことがわかる。



(a) 実験水路 [cm] (b) 桿粗度設置状況と測定断面

図 1 実験概要

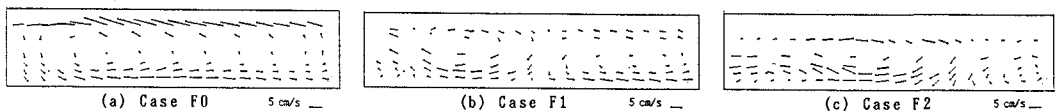


図 2 二次流ベクトル図

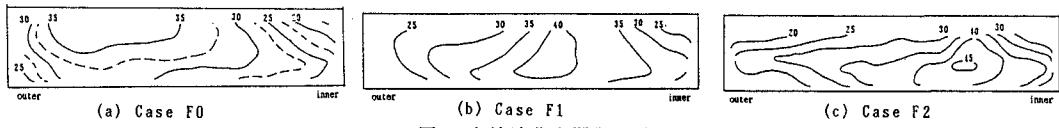
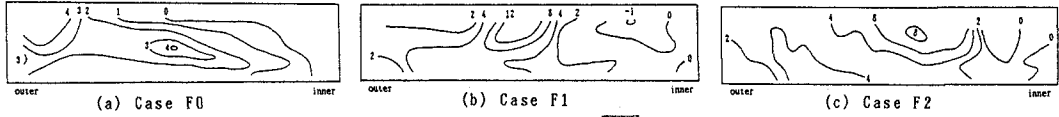
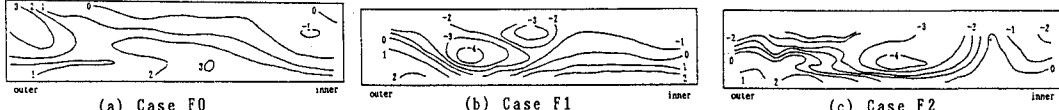
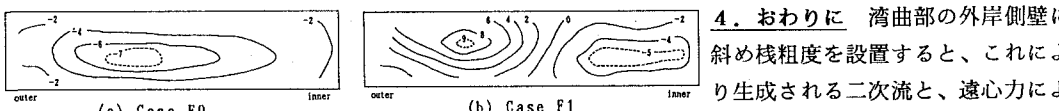


図 3 主流速分布図 [cm/s]

図 4-1 レイノルズ応力 $-u'v'$ [cm^2/s^2]図 4-2 レイノルズ応力 $-u'w'$ [cm^2/s^2]図 5 二次流の流線 (数字は ψ の値 [cm^2/s])

4. おわりに 湾曲部の外岸側壁に斜め桿粗度を設置すると、これにより生成される二次流と、遠心力により生じる二次流とが干渉し合い、後者を制御できることを示した。また、この結果として、外岸侵食と密接に関係する外岸部河床の深掘れも抑制されることがわかった。本研究では湾曲部入口から約40°の深掘れの断面におけるデータを示したが、今後は、流下方向への流況変化、桿の配置の違いによる流況の変化等についてさらに調べるとともに、桿の最適配置方法についても検討していく予定である。最後に、本研究は河川整備基金（代表者：関根正人）の補助を受けた。記して謝意を表します。

参考文献 1)仲村・高松・福井・吉川：河川護岸の設計に関する基礎的研究、水工学論文集、第37巻、pp. 569～574、1993. 2)井田・高松・仲村・関根・吉川：斜め桿粗度を有する流れの水理特性に関する研究、第48回年次講演会概要集、pp. 432～433、1993. 3)吉川・関根・高松・仲村・井田：斜め桿粗度による二次流制御に関する基礎的研究（土木学会論文集投稿中）

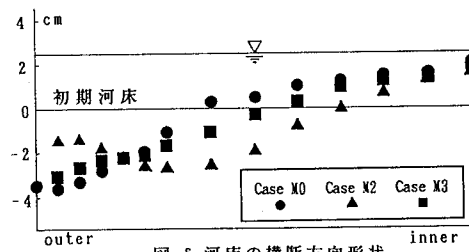


図 6 河床の横断方向形状